

# 船 用 襟 翼 舵

冯 崇 谦 编著

國 防 工 業 出 版 社

## 前　　言

随着航运事业的发展，船舶（船队）日趋大型高速化，内河航区也不断向急流浅水航道延伸，船舶密度迅速增加。因此，对船舶操纵性要求愈来愈高。为了开创海上和内河船舶运输的新局面，提高舵效，改善船舶操纵性已成为船舶设计的重要课题。

1964年长江船舶设计院开始研究、实验船用襟翼舵，并逐渐由长江推广到全国内河、沿海多种船舶上。目前，长江已有25个船种270余艘船舶采用襟翼舵，把长江船舶操纵性提高到一个新水平，并取得显著的经济效益。船用襟翼舵已初步形成配套技术（包括船用襟翼舵舵型及主要参数的选择、水动力特性计算、舵舵结构及强度、传动机构设计等方面），可为船用襟翼舵的设计提供比较可靠的依据。

为了推广、应用这方面技术，在实验及推广应用的基础上，又搜集和学习了国内外的有关资料写成《船用襟翼舵》一书。但由于编者水平有限，经验不足，书中难免有些谬误之处，望广大读者批评指正。

在实验和推广过程中，青山船厂、长航科研所、东风船厂、华中工学院、天津大学都给予很大支持。借此，致以深切的谢意。

本书全文由鲁祖荣高级工程师校审。

第一、二、三章由蔡铮工程师校核。第一章编写时，武汉水运工程学院李世謨教授曾给予审阅指导。第六章是在薛宗柏、鲁祖荣两位高级工程师的协助下译编而成。作者深表感谢。

编　　者

## 内 容 简 介

本书共分七章，对船用襟翼舵的基本参数选择、水动力特性计算、舵叶与传动机构的结构和强度计算，以及襟翼舵应用于船舶的经济价值作了阐述。还介绍了国内实船使用中的典型结构、国外的应用现状及特种舵的新发展。

本书可供船舶科研、设计部门和船厂的技术人员参考，也可供大专院校有关专业师生参考。

## 船 用 襟 翼 舵

冯 崇 谦 编著

\*

国防工业出版社出版、发行

(北京市车公庄西路老虎庙七号)

新华书店经售

国防工业出版社印刷厂印刷

\*

787×1092 1/16 印张20<sup>1</sup>/<sub>2</sub> 480千字

1989年9月第一版 1989年9月第一次印刷 印数： 001— 480册

ISBN 7-118-00026-4/U4 定价：10.50元

# 目 录

<b>主要符号表</b>	1	<b>§ 4-5 舵叶主尾两体的铰接形式</b>	115	
<b>第一章 船舵的功能</b>				
§ 1-1 概述	5	§ 4-6 主要零部件设计	148	
§ 1-2 船舶操纵运动微分方程	5	§ 4-7 舵叶上下两端制流板的应用	163	
§ 1-3 “船-舵”与航向稳定性	10	§ 4-8 襟翼舵典型结构示例	166	
§ 1-4 “船-舵”与回转性、应舵性	12	§ 4-9 襟翼舵计算实例	192	
§ 1-5 操纵性衡准	15	<b>第五章 襟翼舵的实船试验与使用价值</b>		
<b>第二章 襟翼舵基本参数的选择</b>				
§ 2-1 舵面积 $S_p$	21	§ 5-1 简介试验船	205	
§ 2-2 舵的外形	27	§ 5-2 船舶操纵性的测定与评论	208	
§ 2-3 舵的数目与布置	36	§ 5-3 扭矩特性	221	
<b>第三章 襟翼舵的水动力特性计算</b>				
§ 3-1 舵在水流中的受力	39	§ 5-4 襟翼舵对航速和横倾的影响	224	
§ 3-2 敞水中舵的水动力特性	41	§ 5-5 实船使用效果和经济价值	226	
§ 3-3 船体伴流对舵的影响	101	<b>第六章 船用襟翼舵国外应用情况简介</b>		
§ 3-4 螺旋桨尾流对舵的影响	105	§ 6-1 船用襟翼舵的试验与推广概况	236	
§ 3-5 襟翼舵水动力特性在实船应用中的修正和计算表格	118	§ 6-2 舵叶基本参数和传动机构	247	
§ 3-6 舵的空泡	123	§ 6-3 襟翼舵与转动导流管	249	
§ 3-7 倒航时舵的水动力特性	124	§ 6-4 KSR型舵承的应用	250	
§ 3-8 舵机的选择	126	§ 6-5 在螺旋桨尾流中船用襟翼舵水动力特性的研究	257	
<b>第四章 襟翼舵的结构与计算</b>				
§ 4-1 导杆式传动机构	128	<b>第七章 特种舵</b>		
§ 4-2 齿轮式传动机构	132	§ 7-1 变翼舵	269	
§ 4-3 摆臂式传动机构	136	§ 7-2 组合舵	296	
§ 4-4 滑块式和曲柄式传动机构	143	§ 7-3 组合型转子襟翼舵	309	
附录 单位换算表				
参考文献				

## 主要符号表

$L_f$ ——船总长, m;	$x_g$ ——重心纵向位置, m;
$L_d$ ——船队总长, m;	$l_p$ ——舵水动力中心至船舶重心的距离, m;
$L_{WL}$ ——设计水线长, m;	$l_d$ ——舵杆至船舶重心的距离, m;
$L_{bp}$ ——两柱间长, m;	$\bar{l}_d$ ——舵杆至船舶重心的相对距离, m;
$B_e$ ——船型宽, m;	$D_n$ ——定常回转直径, m;
$B_z$ ——船总宽, m;	$\bar{R}_n$ ——相对回转半径;
$B_d$ ——船队总宽, m;	$\bar{D}_n$ ——相对回转直径;
$H_e$ ——船型深, m;	$\psi_e$ ——伴流系数;
$T_e$ ——船吃水, m;	$t$ ——时间, s;
$T_{ep}$ ——平均吃水, m;	$\tau$ ——无因次时间;
$T_{eH}$ ——首吃水, m;	$\lambda_s$ ——船舶模型的缩尺比;
$T_{eK}$ ——尾吃水, m;	$H_s$ ——航道水深, m;
$V$ ——船舶的排水体积, $m^3$ ;	$C_y$ ——“船-舵”系统横向力系数;
$\Delta_e$ ——船舶的排水量, t;	$C_M$ ——“船-舵”系统力矩系数;
$i$ ——边界肋骨号数;	$C_y^B$ ——漂角引起的横向力位置导数;
$\delta_e$ ——方形系数;	$C_y^a$ ——舵角引起的横向力位置导数;
$\varphi_e$ ——棱形系数;	$C_y^\omega$ ——旋转引起的横向力位置导数;
$\beta_{\text{横}}$ ——中横剖面面积系数;	$C_M^B$ ——漂角引起的力矩位置导数;
$\sigma_{\text{纵}}$ ——纵中剖面面积系数;	$C_M^a$ ——舵角引起的力矩位置导数;
$F_A$ ——船舶纵中剖面水下面积, $m^2$ ;	$C_M^\omega$ ——旋转引起的力矩位置导数;
$f_A$ ——船舶纵中剖面尾部空缺面 积, $m^2$ ;	$\bar{C}_1, \bar{C}_2$ ——作用在“船-舵”系统的横 向力系数中包含漂角 $\beta$ 的一 次项和二次项的系数;
$\Delta_1$ ——船舶的静纵倾;	$M_a$ ——舵角引起的水动力力矩, $kgf \cdot m$ ;
$\Delta_2$ ——船舶的航行纵倾;	$M_B$ ——漂角引起的水动力力矩, $kgf \cdot m$ ;
$\beta$ ——船舶的漂角, ( $^\circ$ );	$M_\omega$ ——阻尼力矩(或旋转力矩), $kgf \cdot m$ ;
$\beta_n$ ——定常回转时的漂角, ( $^\circ$ );	
$\psi$ ——船舶的航向角, ( $^\circ$ );	
$\omega$ ——船舶回转的角速度, $rad/s$ ;	
$\omega_n$ ——定常回转时的角速度, $rad/s$ ;	
$\tilde{\omega}$ ——无因次角速度;	
$\theta_d$ ——船舶的动力横倾角, ( $^\circ$ );	
$x_e$ ——浮心纵向位置, m;	

$\lambda_{11}$	船舶纵向附连质量, $\text{kgf} \cdot \text{s}^2 / \text{m}$ ;	$\bar{\lambda}$	舵的展弦比;
$\lambda_{22}$	船舶横向附连质量, $\text{kgf} \cdot \text{s}^2 / \text{m}$ ;	$\bar{\lambda}_\varphi$	有效展弦比;
$\lambda_{66}$	船舶对垂直轴的附连转动惯量, $\text{kgf} \cdot \text{m} \cdot \text{s}^2$ ;	$\delta$	舵翼型剖面的厚度比;
$I$	船舶绕垂直轴的转动惯量, $\text{kgf} \cdot \text{m} \cdot \text{s}^2$ ;	$\delta_{\max}$	舵翼型剖面的最大厚度;
$k_{11}$	纵向附连质量系数;	$k$	舵的平衡系数;
$k_{22}$	横向附连质量系数;	$t$	襟翼舵的尾弦比;
$k_{66}$	附连转动惯量系数;	$\bar{\varepsilon}$	襟翼舵的转角比;
$q, r, s$	$\beta, \bar{\alpha}, \alpha$ 项的系数, 而其注脚如 $q_{21}$ , 第一个数字“2”表示 $y$ 方向的运动方程式, 第二个数字“1”表示 $\beta$ 是一次式, $r, s$ 的注脚皆此规律;	$\bar{\varepsilon}_z$	变翼舵中体的转角比;
$m_c$	船舶质量, $\text{kgf} \cdot \text{s}^2 / \text{m}$ ;	$\bar{\varepsilon}_e$	变翼舵尾翼的转角比;
$m_{cz}$	船队附连水质量, $\text{kgf} \cdot \text{s}^2 / \text{m}$ ;	$\alpha$	舵角, ( $^\circ$ );
$R_{cd}$	船队阻力, $\text{kgf}$ ;	$\alpha_\varphi$	实效舵角, ( $^\circ$ );
$S_p$	舵面积, $\text{m}^2$ ;	$\alpha_{kp}$	临界舵角, ( $^\circ$ );
$S_{pz}$	变翼舵首部面积, $\text{m}^2$ ;	$\alpha_s$	定常回转时的舵角, ( $^\circ$ );
$S_{ps}$	变翼舵中体面积, $\text{m}^2$ ;	$\beta_z$	变翼舵中体的相对转角, ( $^\circ$ );
$S_pz$	尾翼面积, $\text{m}^2$ ;	$\beta_e$	襟翼舵舵叶主体和尾翼之间的相对转角, ( $^\circ$ );
$h_d$	舵的高度, $\text{m}$ ;	$\phi$	襟翼舵尾翼的绝对转角, ( $^\circ$ );
$b_d$	舵的宽度, $\text{m}$ ;	$B_w$	组合舵整流尾的宽度;
$b_s$	襟翼舵尾翼宽度, $\text{m}$ ;	$l_w$	整流尾的长度;
$b_{dz}$	变翼舵首部宽度, $\text{m}$ ;	$B_b$	舵叶制流板的宽度;
$b_{ds}$	变翼舵中体宽度(弦长), $\text{m}$ ;	$l_b$	制流板的长度;
$b_{de}$	变翼舵尾翼宽度(弦长), $\text{m}$ ;	$B_{bw}$	制流板的尾部宽度;
$b_e$	舵杆中心至舵导缘的距离, $\text{m}$ ;	$l_{bw}$	制流板收缩部分的长度;
$b_p$	舵的水动压力中心距其导缘的距离, $\text{m}$ ;	$d_u$	旋转圆柱的直径, $\text{m}$ ;
$b_H$	舵的水动压力中心到舵杆中心的距离, $\text{m}$ ;	$h_u$	旋转圆柱的有效长度, $\text{m}$ ;
$b_R$	舵面积形心至舵杆中心线的水平距离, $\text{m}$ ;	$S_u$	旋转圆柱的投影面积, $\text{m}^2$ ;
$\mu$	舵面积系数;	$\omega_e$	圆柱的旋转角速度, $\text{rad/s}$ ;
		$u$	旋转圆柱表面的周向速度, $\text{m/s}$ ;
		$\bar{u}$	相对转速;
		$n_u$	旋转圆柱的转速, $\text{s}^{-1}$ ;
		$F_y$	旋转圆柱产生的升力, $\text{kgf}$ ;
		$C_{yu}$	旋转圆柱的升力系数;
		$C_{xu}$	旋转圆柱的阻力系数;
		$M_u$	旋转圆柱的转矩, $\text{kgf} \cdot \text{m}$ ;
		$N_u$	在流体中旋转圆柱消耗的总功率, $\text{kW}$ ;
		$d_H$	舵杆下舵承处的舵杆直径, $\text{m}$ ;

$d_B$	舵杆上舵承处的舵杆直径, m;	$M_{T_h}$	回舵舵杆扭矩, kgf·m;
$C$	舵的合力系数;	$T_d$	变翼舵导流负推力, kgf;
$C_n$	舵的法向力系数;	$R_{1e}$	变翼舵制动舵位时的拦水阻力, kgf;
$C_r$	舵的切向力系数;	$T_s$	变翼舵的制动力, kgf;
$C_z$	舵的阻力系数;	$v_o$	船舶航速, m/s;
$C_s$	舵的升力系数;	$v_u$	船舶回转时的航速, m/s;
$C_p$	舵的压力中心系数;	$v_e$	螺旋桨水流进速, m/s;
$C_m$	舵的扭矩系数;	$v_r$	舵的水流进速, m/s;
$C_{pr}$	襟翼舵受力作用中心系数;	$v_o$	导流管出口流速, m/s;
$C_{sr}$	倒航时舵的阻力系数;	$v_t$	船舶设计拖带航速, m/s;
$C_{sr}$	倒航时舵的升力系数;	$v_f$	船舶设计自由航速, m/s;
$C_{pr}$	倒航时舵的压力中心系数;	$v_m$	自航模航速, 或船模水池拖速, m/s;
$C_{zz}$	尾翼阻力系数;	$D_B$	螺旋桨直径, m;
$C_{yz}$	尾翼升力系数;	$H$	螺旋桨螺距, m;
$C_{ms}$	尾翼扭矩系数;	$H/D_B$	螺距比;
$C'_{ms}$	尾翼扭矩系数修正值;	$S$	螺旋桨滑脱比;
$C_f$	平板摩擦系数;	$z$	螺旋桨数;
$K_x$	风浪及蛇航时舵扭矩附加系数;	$n_B$	螺旋桨转速, r/min;
$K_s$	变翼舵中体转动过程附加负荷系数;	$D_d$	导流管最小内径, m;
$K_v$	尾翼转动过程附加负荷系数;	$D_e$	导流管出口直径, m;
$\chi$	舵的空泡系数;	$\beta_F$	导流管扩张系数;
$P$	舵的作用力的合力, kgf;	$\alpha_F$	导流管收缩系数;
$P_n$	舵的法向力, kgf;	$\gamma$	推进器的尾流效能系数;
$P_r$	舵的切向力, kgf;	$\sigma_p$	螺旋桨推力负荷系数;
$P_z$	舵的阻力, kgf;	$\sigma_k$	导流管-螺旋桨负荷系数;
$P_s$	舵的升力, kgf;	$K_T$	导流管-螺旋桨推力系数;
$M_t$	舵杆扭矩, kgf·m;	$K_0$	转矩系数;
$M_K$	舵的水动力扭矩, kgf·m;	$J$	进速系数;
$M_z$	尾翼的水动力扭矩, kgf·m;	$\eta_T$	导流管-螺旋桨效率;
$M_f$	舵杆的摩擦扭矩, kgf·m;	$P_B$	螺旋桨推力, kgf;
$M_e$	等值弯矩, kgf·m;	$P_e$	导流管-螺旋桨总推力, kgf;
$M_b$	舵杆计算断面处的弯矩, kgf·m;	$T_{po}$	系泊状态时正车推力, kgf;
$M_T$	舵杆总合成扭矩, kgf·m;	$T_{ps}$	螺旋桨倒车时负推力, kgf;
$M_{Tq}$	去舵舵杆扭矩, kgf·m;	$N_p$	主机持久功率, BHP;
		$n$	主机转速, r/min;
		$i_n$	主机转速减速比;
		$K$	表征回转性的操纵性指数;

$T$ ——表征航向稳定性 的 操纵性  
指 数;

$K'$ ——回转性指数的无因次值;  
 $T'$ ——航 向 稳 定 性 指 数 的 无 因  
次 值;

$t_s$ ——船 舶 惯 性 滑 行 时 间 , s ;

$s_s$ ——船 舶 惯 性 滑 行 距 离 , m ;

$\sigma$ ,——材料的抗拉强度, kgf/mm<sup>2</sup>;

[ $\sigma$ ]——许用应力, kgf/mm<sup>2</sup>;

[ $\tau$ ]——许用剪切应力, kgf/mm<sup>2</sup>;

$Fr$ ——弗劳德数;

$Re$ ——雷诺数;

$\rho$ ——水的密度, kgf·s<sup>2</sup>/m<sup>4</sup>。

# 第一章 舵的功能

## § 1-1 概述

船舶操纵性是船舶的重要航行性能之一，而操纵运动，无论是保持既定航向还是迅速实现所需要的机动，都要依靠舵操纵来完成。因此，舵对于确保航行安全和顺利完成预定的使命都是十分重要的。

船舶操纵性包括三个方面：

- a ) 回转性：船舶操舵后作圆弧运动的性能。
- b ) 应舵性：船舶回转初期对舵反应的能力。
- c ) 航向稳定性：船舶在水平面内的运动受扰动而偏离平衡状态，当扰动完全消除后保持原航向的能力。

不同类型航区的船舶对操纵性的要求也不同，远洋船对航向稳定性要求较高，港作船或内河船则回转性要求较高，大型肥胖船则应舵性和航向稳定性都很重要。对于特殊航区的船，如我国川江船舶，为了不断地越过急流、险滩、暗礁、弯窄航道，就需要有较好的应舵性和回转性。因此，设计时应有不同的侧重。

众所周知，当船体的形状和螺旋桨决定之后，舵是影响操纵性的唯一因素。船型和主尺度的确定，需要综合考虑稳性、快速性、耐波性、船体布置等各方面的要求。除少数对操纵性有特殊要求的船舶之外，在决定主尺度时很少从操纵性需要入手。所以，对于给定的船舶，保证具有良好操纵性的任务就由舵来承担了。当然，这并不排除从操纵性着眼对船体型线，特别是尾部线型结构进行适当的改造。

舵位于船体的尾部，与船体和螺旋桨密切配合，相互影响，形成一个有机的整体。因此，在设计舵时应把船体、螺旋桨、舵作为一个组合来考虑。除了保证在各种情况下的操纵性之外，同时也应促进推进效率有所提高，多年来出现以提高推进效率为主的各种形式的舵就说明了这一点。

对于船体而言，航向稳定性和回转性是矛盾的，只能根据具体的特殊要求给予特殊考虑。

## § 1-2 船舶操纵运动微分方程式

船舶操纵运动微分方程式主要是建立船舶重心G的运动速度 $v_0$ 、漂角 $\beta$ （顺时针为正）及回转角速度 $\omega$ （顺时针为正）三者的关系。不考虑操舵过程中船速的变化，无因次操纵运动非线性方程式可表示为

$$\left. \begin{aligned} d\beta/d\tau + q_{21}\beta + q_{22}|\beta|\beta + r_{21}\bar{\omega} + s_{21}\alpha &= 0 \\ d\bar{\omega}/d\tau + q_{31}\beta + r_{31}\bar{\omega} + s_{31}\alpha &= 0 \end{aligned} \right\} \quad (1-1)$$

式中

$$\left. \begin{aligned} q_{21} &= -\frac{F_d L_{WL}}{2(1+k_{22})V} C_Y^b \\ q_{22} &= -\frac{F_d L_{WL}}{2(1+k_{22})V} \bar{C}_2 \\ r_{21} &= \frac{F_d L_{WL} C_Y^\omega - 2(1+k_{11})V}{2(1+k_{22})V} \\ s_{21} &= -\frac{-F_d L_{WL}}{2(1+k_{22})V} C_M^a \\ q_{31} &= -\frac{-\rho F_d L_{WL}^3}{2I(1+k_{66})} C_M^b \\ r_{31} &= -\frac{-\rho F_d L_{WL}^3}{2I(1+k_{66})} \bar{C}_M^\omega \\ s_{31} &= -\frac{-\rho F_d L_{WL}^3}{2I(1+k_{66})} C_M^a \end{aligned} \right\} \quad (1-2)$$

$\tau = t v_o / L_{WL}$ ,  $\bar{\omega} = \omega L_{WL} / v_o$ ——无因次变换。

其中  $L_{WL}$ ——船舶设计水线长, m;

$V$ ——船舶的排水体积,  $m^3$ ;

$F_d$ ——船舶纵中剖面水下面积,  $m^2$ ;

$\rho$ ——水的密度,  $kgf \cdot s^2 / m^4$ ;

$v_o$ ——船舶航速,  $m/s$ ;

$C_Y^b$ ——漂角引起的横向力位置导数;

$C_Y^a$ ——舵角引起的横向力位置导数;

$C_Y^\omega$ ——旋转引起的横向力位置导数;

$C_M^b$ ——漂角引起的力矩位置导数;

$C_M^a$ ——舵角引起的力矩位置导数;

$C_M^\omega$ ——旋转引起的力矩位置导数;

$\bar{C}_Y^\omega = C_Y^\omega v_o / L_{WL}$ ,  $\bar{C}_M^\omega = C_M^\omega v_o / L_{WL}$ 无因次变换;

$I$ ——船舶绕垂直轴的转动惯量,  $kgf \cdot m \cdot s^2$ ;

$k_{11} = \lambda_{11} / \rho V$ ;  $k_{22} = \lambda_{22} / \rho V$ ;  $k_{66} = \lambda_{66} / I$ 。

$\lambda_{11}$ 、 $\lambda_{22}$ 分别为船在  $x$  (纵向)、 $y$  (横向) 方向上的附连质量,  $\lambda_{66}$  为船对  $Z$  轴(垂直轴) 的附连转动惯量, 则  $k_{11}$ 、 $k_{22}$  为附连质量系数,  $k_{66}$  为附连转动惯量系数。

横向力系数

$$C_Y = C_Y^b \beta + C_Y^a \alpha + C_Y^\omega \omega$$

力矩系数

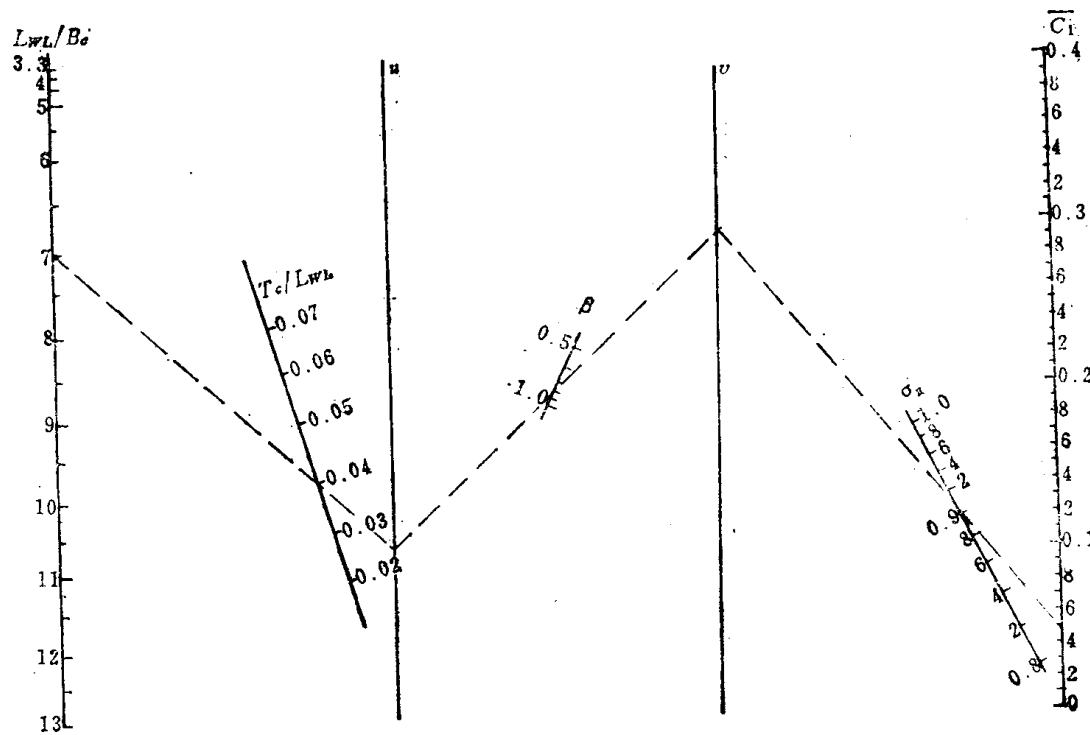
$$C_M = C_M^b \beta + C_M^a \alpha + C_M^\omega \omega$$

在非线性关系中,  $\bar{C}_1$  和  $\bar{C}_2$  表示作用在“船-舵”系统的横向力系数中包含漂角  $\beta$  的一次项和二次项系数。 $\bar{C}_1 = C_Y^b$ 。

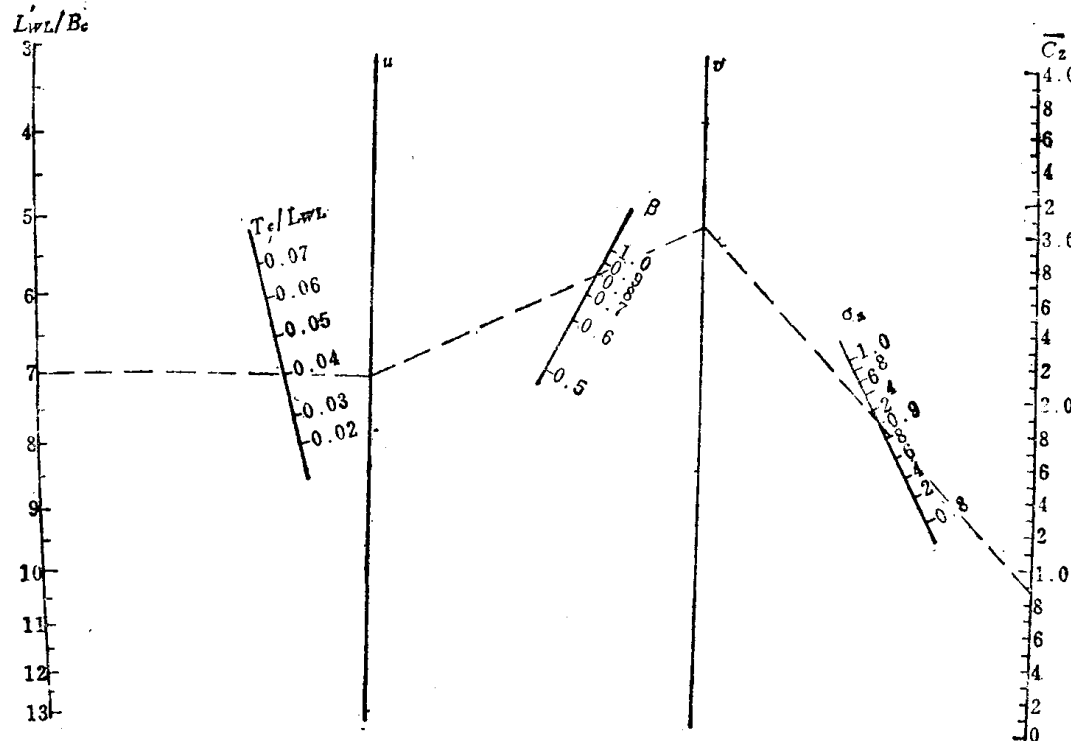
船舶操纵运动的线性方程式为

$$\frac{d^2 \beta}{d\tau^2} + 2p \frac{d\beta}{d\tau} + q\beta = -s_{21} - \frac{d\alpha}{d\tau} + s\alpha \quad (1-3)$$

$$\frac{d^2 \bar{\omega}^2}{d\tau^2} + 2p \frac{d\bar{\omega}}{d\tau} + q\bar{\omega} = -s_{31} - \frac{d\alpha}{d\tau} + \bar{s}\alpha \quad (1-4)$$

图1-1 确定系数 $\bar{C}_1$ 

使用方法：(1) 由 $L_{WL}/B_e$ 、 $T_e/L_{WL}$ → $u$ ，(2) 由 $u$ 、 $B_e$ → $v$ ，(3) 由 $v$ 、 $\sigma_D$ → $\bar{C}_1$ 。

图1-2 确定系数 $\bar{C}_2$ 

使用方法：(1) 由 $L_{WL}/B_e$ 、 $T_e/L_{WL}$ → $u$ ，(2) 由 $u$ 、 $B_e$ → $v$ ，(3) 由 $v$ 、 $\sigma_D$ → $\bar{C}_2$ 。

式中

$$\left. \begin{aligned} 2p &= q_{21} + r_{31} \\ s &= r_{21} \cdot s_{31} - r_{31} \cdot s_{21} \\ q &= q_{21} \cdot r_{31} - q_{31} \cdot r_{21} \\ \bar{s} &= q_{31} \cdot s_{21} - q_{21} \cdot s_{31} \end{aligned} \right\} \quad (1-5)$$

由图 1-1 至图 1-4 可求出船体水动力系数  $\bar{C}_1$ 、 $\bar{C}_2$ 、 $C_M^b$ 、 $C_M^o$  之值。

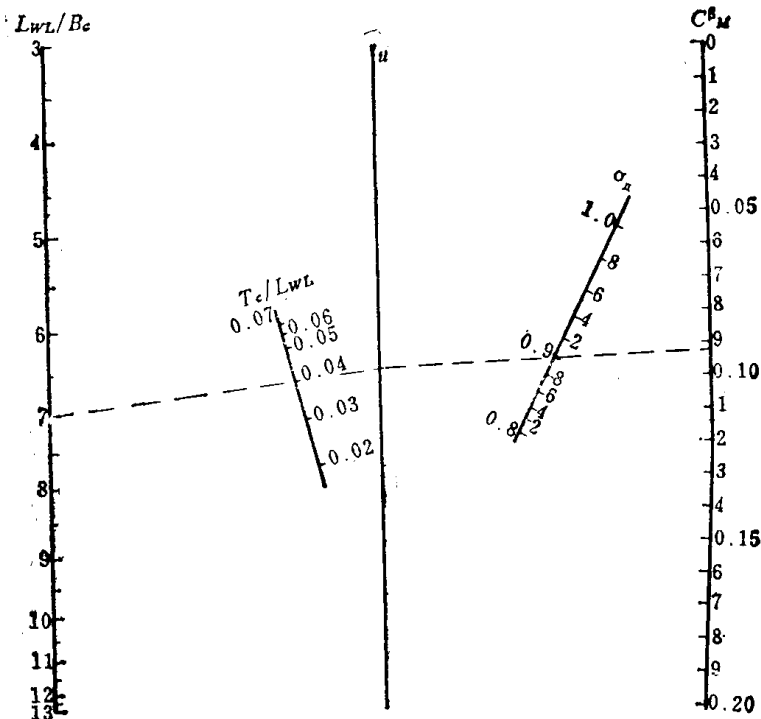


图 1-3 确定力矩位置导数  $C_M^b$

使用方法：(1) 由  $L_{WL}/B_c$ 、 $T_e/L_{WL}$  →  $u$ ，(2) 由  $u$ 、 $\sigma_d$  →  $C_M^b$ 。

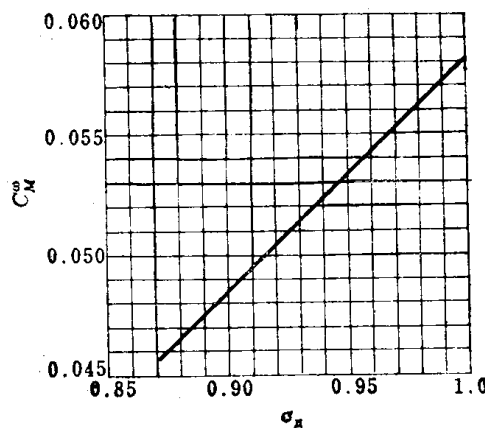


图 1-4 确定力矩位置导数  $C_M^o$

船纵中剖面面积系数  $\sigma_{\text{A}}$  取决于船体尾部形状、静纵倾、航行纵倾诸因素，故引用公式

$$\sigma_{\text{A}} = 1 - \frac{5}{20 - i} \cdot \frac{f_{\text{A}}}{L_{WL} T_{cp}} + \frac{0.03(\Delta_1 + \Delta_2)}{\bar{l}_a T_{cp}/L_{WL}} \quad (1-6)$$

式中

$i$  —— 船尾由 U 形肋骨剖面变为 V 形肋骨剖面的转变点（呆木起点处）的理论站号。若尾部全是 U 形（无呆木），则理论站号  $i$  取为底部与基线交点处的站号；

$f_{\text{A}}$  —— 纵中剖面尾部空缺面积；

$\bar{l}_a$  —— 舵杆至船舶重心的相对距离  $\bar{l}_a = l_a/L_{WL}$ ；

$\Delta_1$  —— 船舶的静纵倾， $\Delta_1 = \frac{T_{cK} - T_{cH}}{L_{WL}}$ ， $T_{cK}$  为尾吃水， $T_{cH}$  为首吃水；

$\Delta_2$  —— 航行纵倾，由图 1-5 查得；

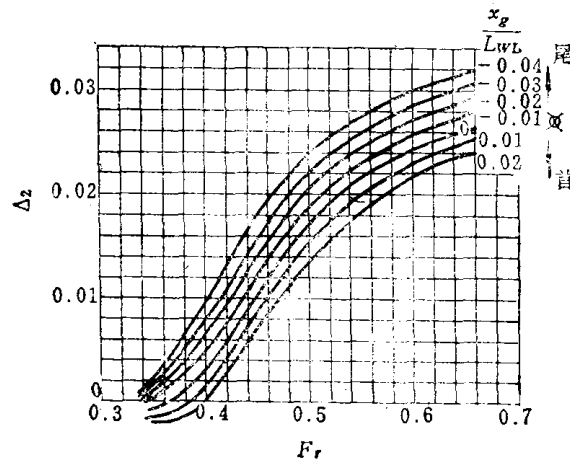


图 1-5 航行纵倾  $\Delta_2$  随  $Fr$  的变化

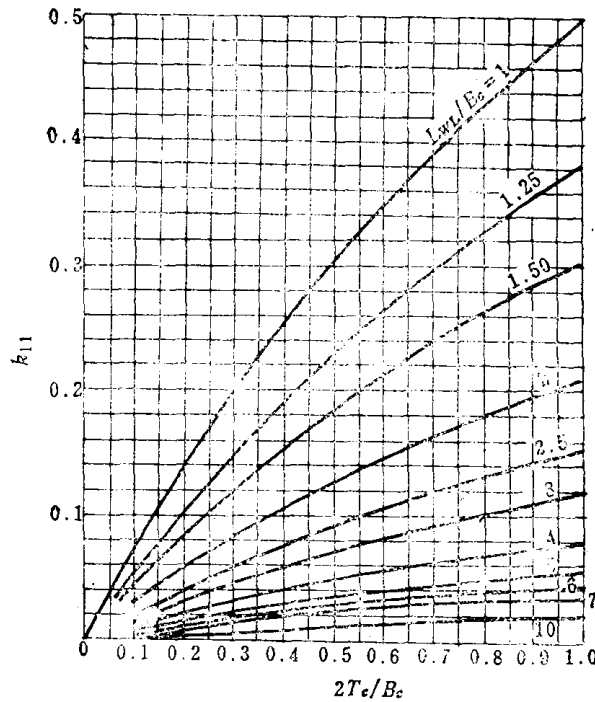


图 1-6 船纵 (x) 向移动时的附连质量系数  $k_{11}$

$x_g/L_{WL}$ ——船舶重心纵向位置与船长之比；  
 $F_r = \rho/v^2 g L_{WL}$ ——弗劳德数。

由图 1-6 至图 1-8 可分别查得  $k_{11}$ 、 $k_{22}$ 、 $k_{66}$ 。

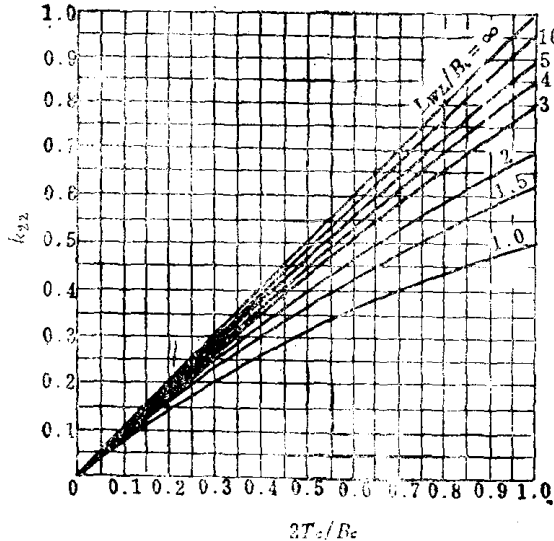


图 1-7 船横 ( $y$ ) 向移动时的附连质量系数  $k_{22}$

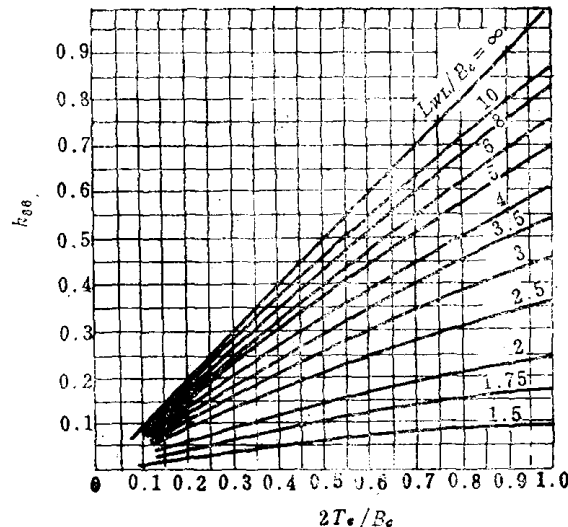


图 1-8 船旋转时的附连转动惯量系数  $k_{66}$

### § 1-3 “船-舵”与航向稳定性

船舶保持所需的航向作直线运动的能力，称为船舶的航向稳定性。

当船作直线航行时（舵角  $\alpha = 0$ ），不可避免的会受到各种偶然因素的影响，如风、浪、水流以及作用在船体上的水动力微小变化等作用，使船舶偏离航向。如果当这些扰动力去除后，船不操舵，舵角保持为零，即有能力自动回到原航向，则称船舶是自动稳定的。若船舶不具有自动稳定性，而靠操舵来保持航向，则称船舶具有使用稳定性。如果不能做到这一点，则船舶完全不稳定，因此它是不可操纵的，故不适于航行。

#### 一、船舶在直线航向上的稳定性

下面研究船舶在作直线运动时对漂角  $\beta$  及航向角  $\psi$  扰动的动稳定性，着重分析自动稳定的条件。

因为船作直线航行，舵角  $\alpha = 0$ ， $d\alpha/d\tau = 0$ 。故可由方程式 (1-3) 导出“漂角扰动运动微分方程式”

$$\frac{d^2(\Delta\beta)}{d\tau^2} + 2p \left[ \frac{d(\Delta\beta)}{d\tau} \right] + q(\Delta\beta) = 0 \quad (1-7)$$

由方程式 (1-4) 导出“角速度扰动运动微分方程式”

$$\frac{d^2(\Delta\bar{\omega})}{d\tau^2} + 2p \left[ \frac{d(\Delta\bar{\omega})}{d\tau} \right] + q(\Delta\bar{\omega}) = 0 \quad (1-8)$$

航向角扰动  $\Delta\psi$  为

$$\Delta\psi = \int \Delta\bar{\omega} d\tau \quad (1-9)$$

方程式(1-7)、(1-8)的通解分别为

$$\Delta\beta = C_1 e^{\lambda_1 \tau} + C_2 e^{\lambda_2 \tau} \quad (1-10)$$

$$\Delta\bar{\omega} = D_1 e^{\lambda_1 \tau} + D_2 e^{\lambda_2 \tau} \quad (1-11)$$

将(1-11)式代入(1-9)式,得

$$\begin{aligned}\Delta\psi &= \int D_1 e^{\lambda_1 \tau} d\tau + \int D_2 e^{\lambda_2 \tau} d\tau \\ \Delta\psi &= D_0 + \left( \frac{D_1}{\lambda_1} \right) e^{\lambda_1 \tau} + \left( \frac{D_2}{\lambda_2} \right) e^{\lambda_2 \tau}\end{aligned} \quad (1-12)$$

式中  $C_1$ 、 $C_2$ 、 $D_0$ 、 $D_1$ 、 $D_2$  均为常数。

$\lambda_1$ 、 $\lambda_2$  是方程式(1-7)、(1-8)的特征方程式  $\lambda^2 + 2p\lambda + q = 0$  的根

$$\lambda_{1,2} = -p \pm \sqrt{p^2 - q} \quad (1-13)$$

式中  $q = k [F_d L_{WL} C_M^b C_Y^w - F_d L_{WL} C_Y^b C_M^w - 2(1+k_{22})V C_M^b]$   $(1-14)$

$$k = \frac{\rho F_d L_{WL}^3}{4I(1+k_{22})(1+k_{66})V}$$

分析(1-10)、(1-12)、(1-13)式可知,船舶的扰动运动决定于  $\lambda_1$  和  $\lambda_2$ ,只有当两个根都为负值时,才能当  $\tau \rightarrow \infty$ ,  $\Delta\beta \rightarrow 0$ ;则  $\Delta\psi \rightarrow D_0$ 。而  $\lambda_1$  和  $\lambda_2$  之值取决于  $p$  和  $q$ ,一般船的  $p$  值总为正,  $q$  的正负和大小由船型而定。故可得出:

当  $q > 0$  时,船受扰去除后,将沿新的航向作直线运动,如图 1-9 中②所示;

当  $q = 0$  时,船受扰去除后,将由原直线运动变成保持一定漂角( $\Delta\beta = C_1$ )的圆周运动,如图 1-9 中③所示;

当  $q < 0$  时,船受扰去除后,将由原直线运动变为螺旋运动,如图 1-9 中④所示;这一结论显然是由于忽略了非线性项而造成与实际情况不符,因为船最终达到的将是定常回转运动。

综上所述,  $q > 0$  是船舶对漂角扰动自动稳定的充要条件;但船舶并不具有对航向角扰动的自动稳定性。所以船在航行中要靠操舵来保持航向稳定,即具有航向的“使用稳定性”。

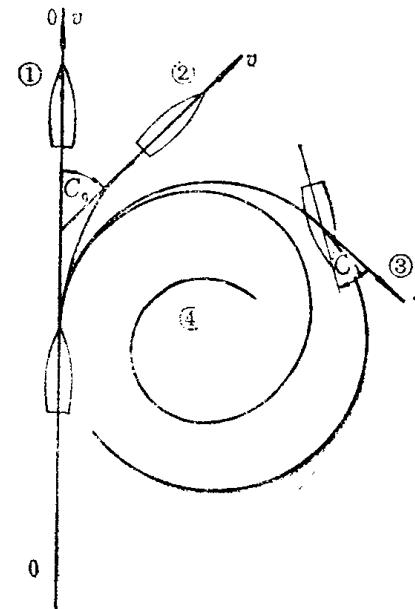


图 1-9  $q$  值对船舶运动的影响

## 二、船型与航向稳定性的关系

由(1-14)式看出,航向稳定性的好坏主要取决于作用在船体上的水动力方向和大小。一般,横向力位置导数  $C_Y^w$  通常是一个很小的值,力矩位置导数  $C_M^w$  是一个较大的负值,力矩位置导数  $C_M^b$  是一个不大的负值。若增加航向稳定性,自然希望增加力矩位置导数  $C_M^w$  的绝对值,为此可增加船长,或加大纵中剖面首尾两端的面积。同时,力求使力矩位置导数  $C_M^b$  更大些,即使水动力位置力的作用点向船尾移动,而最有效的方法是增加纵中剖面尾部面积;例如:增大呆木、安装尾鳍、使船尾倾、削去前踵等,见图 1-10。

显然，增加首部纵中剖面面积和削去前踵是矛盾的，这说明改善船舶的航向稳定性从首部着手不如从尾部着手显著。

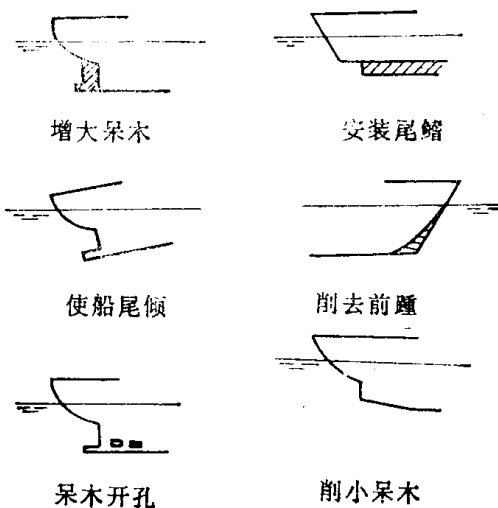


图1-10 船纵中剖面的首与尾

### 三、舵 的 作 用

舵装在船尾，起到呆木作用，提高了船舶的航向稳定性。当船受到外界扰动，一旦偏离了原来航向，装在船尾的螺旋桨推力方向也随之改变，使船速方向发生了变化，船沿着新的航向前进。因此，具有使用稳定性的船舶，若使船保持既定的航向，航行就必须不断操舵。根据航行中的实践经验，为了保持航向的平均操舵频率不大于每分钟4~6次，平均转舵角不超过 $3^{\circ} \sim 5^{\circ}$ ，该船亦具有较好的使用稳定性。

#### § 1-4 “船-舵”与回转性、应舵性

用操舵来改变航向叫作回转。船舶的回转能力是由回转性和应舵性决定。

应舵性是指船舶回转初期对舵反应的能力。它表征了船在操舵之后改变航向的性能。操舵后船舶能迅速地进入新的航向，或者能较快地将偏离航向纠正，则该船具有良好的应舵性。

回转性和应舵性的区别在于，应舵性实质是操舵后回转力矩改变，船体反应的快慢；回转性则是指在一定的回转力矩作用下船舶作圆弧运动的能力。因此，船舶的应舵性和回转性可能同时都好，但也有应舵性好回转性不好的可能。所以船舶回转能力好的条件是既有良好的应舵性，又要有良好的回转性。

#### 一、船舶回转运动与舵操纵的关系

直线航行的船因改变航向需要于 $G_0$ 点开始转舵至某一舵角 $\alpha$ ，并保持此舵角，船舶将作曲线运动，其重心 $G$ 的轨迹称回转曲线，见图1-11。回转运动可分为下面三个阶段。

##### 1. 转舵阶段——机动阶段

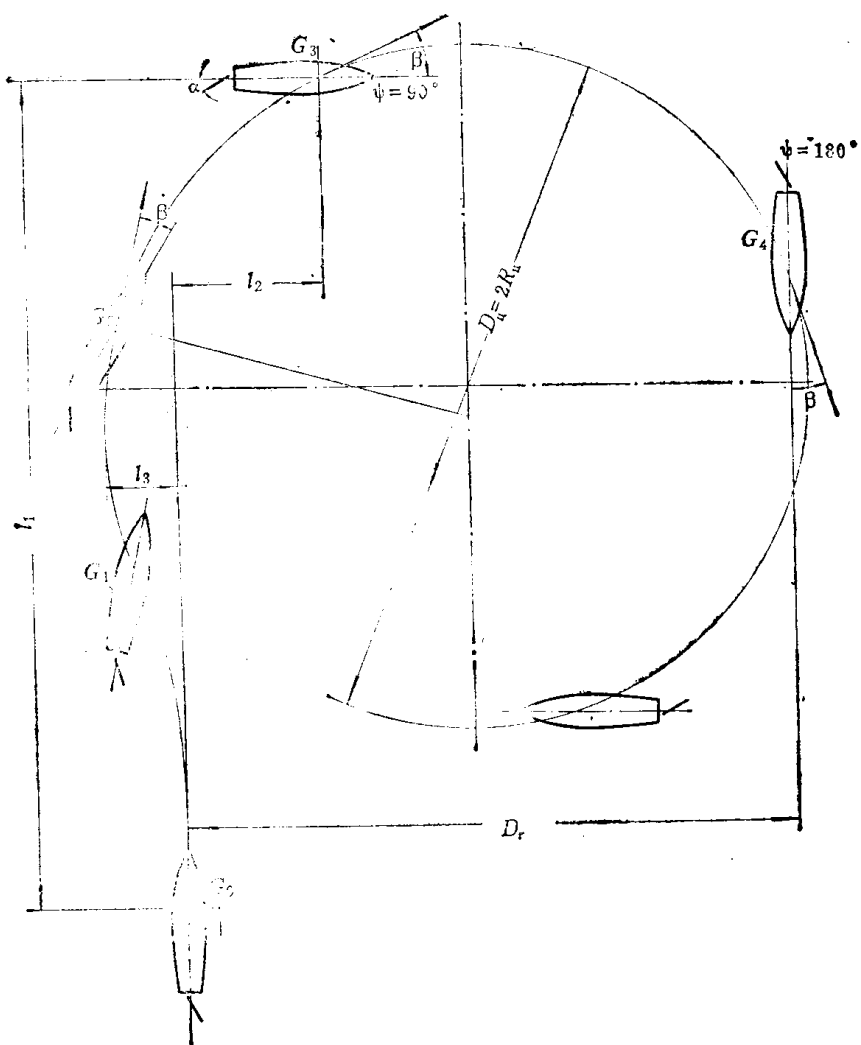


图 1-11 回转曲线

由转舵开始到转舵终了，约 6~20s，为转舵阶段。此时舵的水动力由零增至  $P$ ，并可分解为沿船速方向的分量  $P_t$  和垂直于船速方向的分量  $P_n$ ，见图 1-12。 $P_t$  为阻力，使船速降低。 $P_n$  可代之以作用于  $G$  点的  $P'_n$  和力偶  $P_n - P''_n$ （即等于  $P_n l_p$ ）。所以  $P_n$  的作用一方面使船向左移动——“反向横移”，同时又使船顺时针方向旋转。由于船的惯性（质量  $\rho V$ 、转动惯量  $I$  及水的附加惯性）很大，由  $P_n$  和  $P_n l_p$  引起的加速度和角加速度都很小，且转舵时间很短，所以在此阶段内船的横向位移和旋转角位移皆很小，船几乎按原航向运动。

## 2. 舵角保持前期——发展阶段

转舵终止并保持舵角不变到船舶各运动要素停止改变，即船舶开始作定常运动为止，称为舵角保持前期，船舶回转运动处于发展阶段。一般，船达到定常运动约 改变航向  $90^\circ \sim 100^\circ$ 。

由于船舶产生以角加速度  $d^2\psi/dt^2$  的顺时针方向转动，逐渐使船舶形成一个漂角  $\beta$

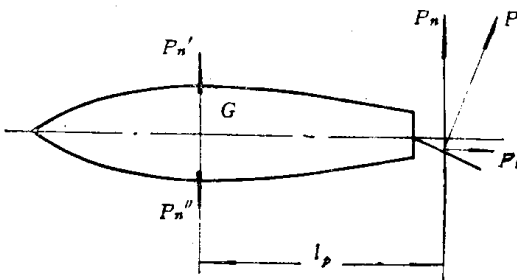


图 1-12 转舵阶段水动力分析图